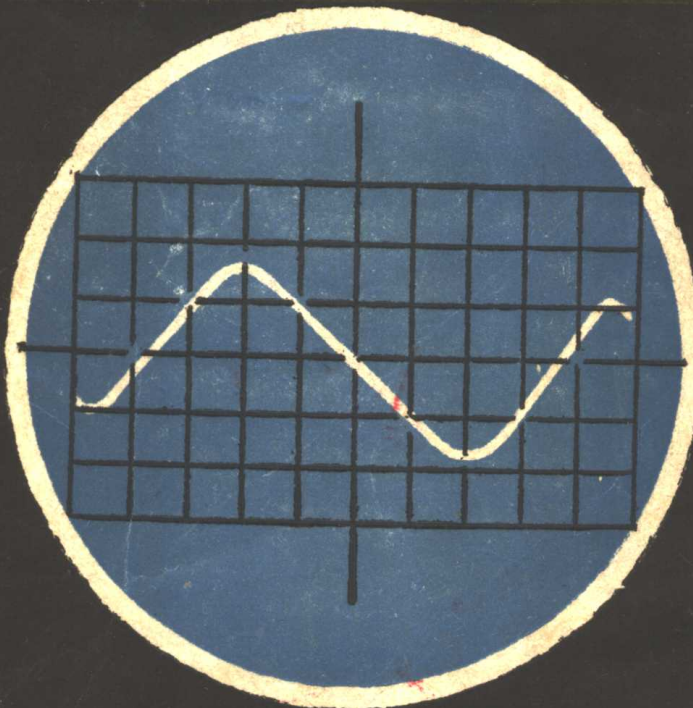


# 近代岩矿测试新技术

JINDAIYANKUANGCESHIXINJISHU

中南工业大学出版社

张振儒等 编著



近 代  
岩 矿  
测 试  
新 技 术

张振儒等 编著

中南工业大学出版社

## 内 容 简 介

本书系统地介绍了X射线分析、透射电镜、电子探针、扫描电镜、差热分析、热天平、红外光谱、穆斯堡尔谱、顺磁共振谱、激光显微光谱、原子吸收光谱等十一种近代岩矿测试方法的原理、仪器结构、制样方法及送样要求等，并重点介绍了在地质上的应用和国内外的新动向。本书可供高等院校地质系研究生、高年级学生以及找矿勘探人员、岩矿鉴定人员、地质科研人员参考。对于化学、冶金、材料、建材、石油等工作者，也有一定的参考价值。

# 近代岩矿测试新技术

张振儒等 编 著  
责任编辑 吴秀清

\*  
中南工业大学出版社出版发行  
中南工业大学出版社印刷厂印刷  
湖南省新华书店经销

\*  
开本：787×1092 1/32 印张：13.25 字数：309千字  
1987年2月第一版 1987年2月第一次印刷  
印数：0001—2000

\*  
ISBN 7-81020-019-4/P·002  
统一书号：15442·013 定价：2.15

## 前　　言

为了适应四化建设的需要，更好地促进我国地质事业的发展，掌握和使用近代岩矿测试新技术和新方法，是当前地质工作者从事教学、科研和生产的迫切要求。

编者应湖南、河南及福建等省地质学会和地质局之约，以及为本校地质、冶金、选矿等专业研究生和高年级大学生教学的需要，现根据国内外有关专著及科研成果，编写了《近代岩矿测试新技术》一书，以供教学、科研和生产之用。

本教材共分八章，第一章介绍了 $\text{x}$ 射线粉晶分析法，其中包括德拜照相法、聚焦相机法、 $\text{x}$ 射线粉晶衍射仪法。第二章介绍了微束分析法，重点介绍了透射电子显微镜、电子探针、扫描电镜。第三章是矿物的热分析法，重点介绍了差热分析法及热天平分析法，并附有250种矿物的差热曲线，可供鉴定时参考。第四章介绍红外光谱分析法。第五章介绍了穆斯堡尔谱。第六章介绍顺磁共振分析法。第七章介绍了激光光谱。第八章介绍了原子吸收光谱。以上各章都简要叙述了每种方法的原理、仪器结构、送样要求及制样方法等，并重点介绍了地质上的应用及国内外研究的新动向。

参加本书编写的有张振儒（第一、二、三章）；罗贤昌（第四章）；杨思学（第五、六、七章）；陈蓉美（第七、八章及第一章§16中程序部分）。本书编写工作是在中南工业大学，校、系各级领导支持下进行的，编者虽在主观上作了努力，但因限于水平，书中错误和不当之处在所难免，热忱希望读者予以批评指正。

编　　者

1986年2月

# 目 录

<b>第一章 晶体的X射线分析法</b> .....	( 1 )
§ 1. X射线的性质 .....	( 1 )
§ 2. X射线分析法在地质上的主要应用 .....	( 3 )
§ 3. 产生X 射线的条件 .....	( 22 )
§ 4. X射线的种类 .....	( 23 )
§ 5. 吴里夫-布拉格公式 .....	( 25 )
§ 6. 固定晶体法——劳埃法 .....	( 27 )
§ 7. 粉晶法 (粉末法或德拜法) .....	( 30 )
§ 8. 德拜-雪莱照相机的主要构造 .....	( 41 )
§ 9. 德拜图上衍射线的异常现象 .....	( 42 )
§ 10. A.S.T.M. 卡片 (或J.C.P.D.S卡片) 的内容 .....	( 44 )
§ 11. 粉末衍射数据索引 .....	( 47 )
§ 12. X 光粉晶物相分析中应注意的问题 .....	( 52 )
§ 13. X 射线衍射仪法 .....	( 54 )
§ 14. 聚焦照相法 .....	( 62 )
§ 15. X 光粉晶的送样要求 .....	( 75 )
§ 16. 粉末图的指标化 .....	( 76 )
<b>第二章 微束分析法 (透射电子显微镜、电子探针、扫描电镜)</b> .....	( 109 )
§ 1. 概述 .....	( 109 )

§ 2.	透射电镜的基本原理、仪器结构、主要用途、送样要求及试样制备	( 111 )
§ 3.	电子探针的原理、构造、用途及送样要求	( 143 )
§ 4.	扫描电镜的原理、构造、用途及送样要求	( 167 )
<b>第三章</b>	<b>矿物的热分析法</b>	( 185 )
§ 1.	概述	( 185 )
§ 2.	矿物在加热过程中的热效应	( 187 )
§ 3.	差热分析法	( 198 )
§ 4.	热重分析	( 216 )
<b>第四章</b>	<b>红外光谱分析</b>	( 253 )
§ 1.	概述	( 253 )
§ 2.	红外光吸收光谱分析的基本原理	( 254 )
§ 3.	红外光光谱仪的基本构造	( 270 )
§ 4.	制样方法及其注意事项	( 274 )
§ 5.	红外光谱图的基本特征及其影响因素	( 279 )
§ 6.	红外光谱在矿物学研究中的应用	( 286 )
<b>第五章</b>	<b>穆斯堡尔谱学分析法</b>	( 309 )
§ 1.	概述	( 309 )
§ 2.	穆斯堡尔谱学的基本概念及其基本原理	( 310 )
§ 3.	穆斯堡尔谱仪	( 317 )
§ 4.	穆斯堡尔谱在地质学中的应用	( 320 )
§ 5.	送样要求及制样方法	( 331 )
<b>第六章</b>	<b>电子顺磁共振谱学分析法</b>	( 332 )
§ 1.	概述	( 332 )
§ 2.	电子顺磁共振的基本概念、原理及其参数	( 333 )

§ 3.	电子顺磁共振谱仪的结构及其研究对象	( 341 )
§ 4.	电子顺磁共振谱在地质学中的应用	( 344 )
§ 5.	EPR的送样要求及样品制备	( 351 )
<b>第七章</b>	<b>原子吸收光谱分析法</b>	( 352 )
§ 1.	概述	( 352 )
§ 2.	原子吸收法的基本原理	( 354 )
§ 3.	原子吸收法的仪器装置	( 365 )
§ 4.	原子吸收法的特点及应用	( 374 )
§ 5.	原子吸收法的样品制备及送样要求	( 378 )
<b>第八章</b>	<b>激光显微光谱分析法</b>	( 381 )
§ 1.	概述	( 381 )
§ 2.	激光显微光谱分析法的基本原理	( 386 )
§ 3.	激光显微光谱分析仪	( 390 )
§ 4.	激光光谱的定性分析和定量分析	( 398 )
§ 5.	激光显微光谱法在地质上的应用及样品制 备	( 402 )
§ 6.	激光显微光谱法的特点	( 407 )
<b>参考文献</b>		( 410 )

# 第一章 晶体的X射线分析法

## § 1. X射线的性质：

X射线是1895年由德国的物理学家伦琴(W.K.Röntgen)在研究阴极射线时发现的，这种射线具有下列一些性质。

### (一) 是一种波长极短的横向电磁辐射

它与可见光、紫外线、红外线、 $\gamma$ 射线、微波和无线电波等一样，但不同的是它们各自具有不同的波长范围(图1-1)，其中可见光的波长在3900—7700埃之间，而X射线的波长只有0.01—100埃(用于晶体结构分析的X射线波长介于0.5—2.3埃之间)。所以X线的波长要比可见光的波长短得多，故肉眼不能察见，可通过使照相底片感光、荧光板发光、气体电离等现象发现其存在。

### (二) 穿透能力极强

能透过可见光不能透过的物体。因为X射线属横向电磁辐射，它具有波、粒二象性，既有波动性，又有粒子性，故把它看成是一种波动，具有一定的波长( $\lambda$ )和频率( $v$ )，又可以把它看成是一种以光速C运动着的粒子集团——光子(量子)流，每个光子具有一定能量 $\epsilon$ 。它们之间有如下的关系：

$$\epsilon = h\nu = h(C/\lambda)$$

上式中 $h$ 为普朗克(Plank)常数， $h = 6.625 \times 10^{-27}$  尔格秒。

$C$ 为光速， $C \approx 3 \times 10^{10}$ 厘米每秒， $\nu$ 为X射线的频率。

当射线的频率愈大，则光子的能量愈高，因为光速是常数，而X射线的波长要比可见光短得多，故X射线光子的能量要比可见光大得多，由此X射线能透过可见光不能透过物体。

### (三) 与普通光学的理论基础相同

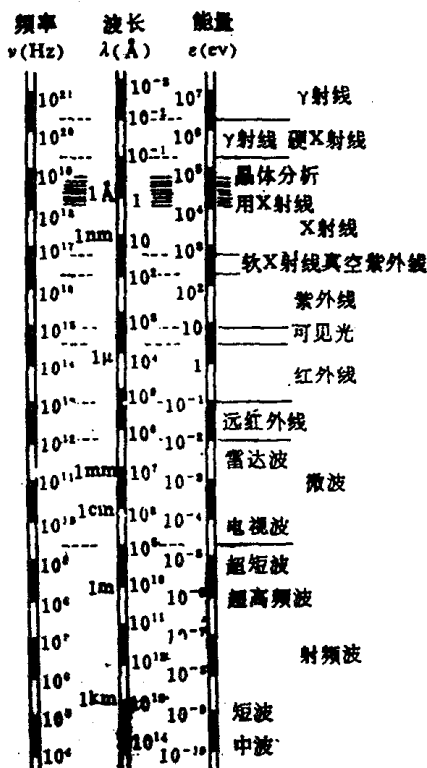


图 1-1 各种电磁辐射的波长范围

通过天然矿物晶体时，也会发生吸收、干涉、散射、衍射等现象；但通过一般物质时不发生反射、折射现象，通过普通光栅亦不引起衍射，因X射线波长较可见光短得多，能量较大，粒子性要比可见光显著得多，故这种射线沿直线进行，在电场与磁场中它并不偏转。

#### （四）对生物细胞有厉害的破坏作用

进行X射线的工作人员，必备防护设施，每人每天的X射线量不得超过0.05伦琴。

当时由于对X射线以上的性质不了解，故称为X射线，后来为了纪念这位科学家又称为伦琴射线。

### § 2. X射线分析法在地质上的主要应用

#### （一）区别晶质矿物与非晶质矿物

晶质矿物经X光粉晶照相可得明显的衍射线（如金刚石图1-2），因为属晶质矿物，其内部质点作三度空间格子状有规则的排列（如金刚石为等轴立方面心格子）故一定的面网，可得一定的衍射线（图1-3及表1-1）。反之，非晶质矿物其内部质点作不规则排列，缺乏空间格子状构造，故X光粉末照相时，无衍射线条产生。例如水铝英石（Allophane） $\text{Al}_2\text{O}_3 \cdot \text{SiO}_2 \cdot n\text{H}_2\text{O}$ ，因内部硅氧四面体片和铝氧八面体片作不规则的排列。

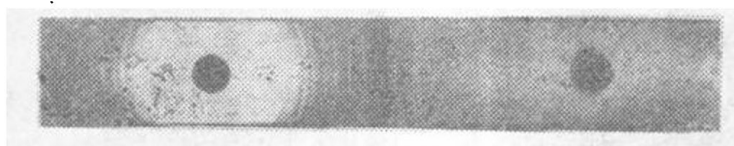


图1-2 金刚石的粉晶德拜图

(格里姆)，属非晶质矿物，在电子显微镜下呈不规则的粒状或圆球状，透射电镜下无衍射斑点(单晶)或衍射环(集合体)(图1-4及1-5)。由此可以清楚的区别晶质矿物及非晶质矿物。

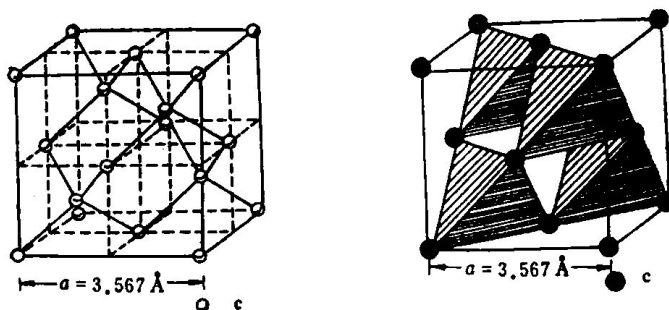


图1-3 金刚石的晶体结构



图1-4 水铝英石(A)在电子显微镜下呈圆球状，常与伊利石(I)共生。透射电镜照片  $\times 10000$   
湖南王家厂伊利石耐火粘土

表 1-1 金刚石 X 光粉晶衍射数据

$d$ (埃)	$I/I_0$	$h k l$	$d$ (埃)	$I/I_0$	$h k l$
(2.27)	4	(1 1 1) ( $\beta$ )	*1.261	8	(2 2 0)
*2.057	10	(1 1 1)	(1.186)	3	(3 1 1) ( $\beta$ )
(1.390)	8	(2 2 0) ( $\beta$ )	1.076	8	(3 1 1)

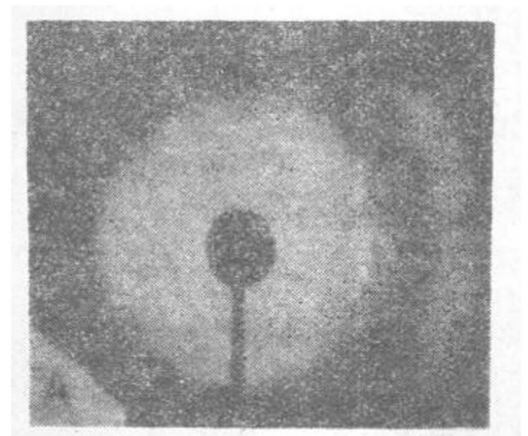


图 1-5 水铝英石 (A) 透射电镜下无电子衍射环 (属非结晶质)。湖南王家厂伊利石耐火粘土中的水铝英石

## (二) 区别晶族和对称程度高低

通常晶质矿物衍射线条少而强，属高级晶族矿物，如金刚石、萤石、自然金等（如图1-6及表1-2）。X光粉晶衍射线条



图 1-6 萤石 (等轴晶系) 的 X 光粉晶德拜图

表 1-2 萤石 ( $\text{CaF}_2$ ) 的 X 光粉晶衍射数据

$d$ (埃)	$I/I_0$	$h k l$	$d$ (埃)	$I/I_0$	$h k l$
(3.48)	4	1 1 1 $\beta$	1.365	4	4 0 0
*3.15	10	1 1 1	1.253	4	3 3 1
(2.123)	4	2 2 0 $\beta$	*1.116	6	4 2 2
*1.929	10	2 2 0	1.052	5	5 1 1
(1.811)	2	3 1 1 $\beta$			
1.644	5	3 1 1			

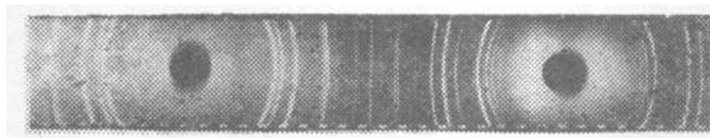


图 1-7 红砷镍矿 (六方晶系) 的 X 光粉晶德拜图

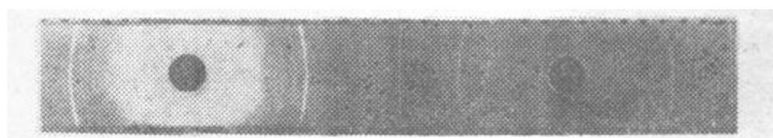


图 1-8 冰长石 (单斜晶系) X 光粉晶德拜图

表 1-3 红砷镍矿 (NiAs) 的 X 光粉晶衍射数据

$d$ (埃)	$I/I_0$	$h k l$	$d$ (埃)	$I/I_0$	$h k l$
(3.46)	1	(1 0 0) $\beta$	1.499	4	(2 0 1)
3.12	3	(1 0 0)	1.479	4	(1 0 3)
(2.929)	4	(1 0 1) $\beta$	1.330	5	(2 0 2)
*2.659	10	(1 0 1)	1.260	3	(0 0 4)
(2.161)	3	(1 0 2) $\beta$	1.155	5	(2 1 1)
(1.995)	2	(1 1 0) $\beta$	1.073	6	(2 1 2)
*1.961	10	(1 0 2)	1.047	4	(3 0 0)
*1.813	8	(1 1 0)	1.034	7	(1 1 4)

注 (\*为特征衍射线)。

较多，为中级晶族矿物，如刚玉、石墨、方解石、红砷镍矿（图1-7及表1-3）等。X光粉晶衍射线条更多，而弱，为低级晶族矿物，如孔雀石、冰长石（图1-8及表1-4）等。因为前者对称程度高，相似的面网机率多，故衍射线条少；后者因对称程度低，相似的面网机率少，故衍射线条多。

表1-4 冰长石 $K[AlSi_3O_8]$ 的X光粉晶衍射数据

$d$ (埃)	$I/I_0$	$h \ k \ l$	$d$ (埃)	$I/I_0$	$h \ k \ l$
9.7	6	★	3.23	9	(0 0 2)
6.48	3	(020), (001)	3.00	5	(1 3 1)
5.90	1	(1 1 1)	2.91	4	(022), (041)
4.95	3	★	2.76	3	(1 3 2)
4.43	3		2.58	8	(2 4 1)
4.21	5	(2 0 1)	2.39	4	(331), (203)
3.94	1	(1 1 1)	2.33	1	(1 1 3)
3.77	4	(1 3 0)	2.17	4	(0 6 0)
3.61	3	(1 3 1)	2.12	4	(2 4 1)
3.46	3	(1 1 2)	2.06	1	(3 1 1)
3.32	10	(2 2 0)	1.98	5	

注：（★为杂质线条）

### （三）鉴定矿物的物相及赋存状态

湖北阳新县鸡笼山金、铜矿床中的含金方铅矿（含Au=46.65克每吨，进行X光粉晶物相分析，获得了自然金及方铅矿两相的独立衍射线条（图1-9及表1-5、1-6），由此说明金在方铅矿中是呈独立的自然金矿物存在。



图1-9 自然金(1)及方铅矿、自然金(2)  
的X光粉晶聚焦相机照相结果

表 1-5 自然金(Au)的X光粉晶衍射数据

$d$ (埃)	$I/I_0$	$h k l$	$d$ (埃)	$I/I_0$	$h k l$
2.36	10	(1 1 1)	1.229	8	(1 1 3)
2.04	7	(0 0 2)	1.177	5	(2 2 2)
1.441	7	(0 2 2)			

表 1-6 方铅矿(pbs)的X光粉晶衍射数据

$d$ (埃)	$I/I_0$	$h k l$	$d$ (埃)	$I/I_0$	$h k l$
3.40	9	(1 1 1)	1.478	4	(0 0 4)
2.940	10	(2 0 0)	1.358	5	(1 3 3)
2.087	10	(0 2 2)	1.322	9	(0 2 4)
1.778	8	(1 1 3)	1.209	8	(2 2 4)
1.697	6	(2 2 2)	1.140	7	(115),(333)

#### (四) 区别同质异象及类质同象

金刚石(C)及石墨(C)，化学成分均属碳，因此用化学分析的方法就无法区别，但用X射线粉晶法就很容易区别，前者属等轴晶系立方面心格子，X光粉晶衍射数据见前表1-1；后者属六方晶系六方底心格子，X光粉晶衍射数据见表1-7，故二者X光粉晶衍射数据有明显的差别，易于区分。例如自然金

表 1-7 石墨(C)的X光粉晶衍射数据

$d$ (埃)	$I/I_0$	$h k l$	$d$ (埃)	$I/I_0$	$h k l$
(3.69)	4	(0 0 2) $\beta$	1.680	4	0 0 4
*3.36	10	0 0 2	1.229	4	1 1 0
2.112	2	1 0 0	1.154	8	1 1 2
2.017	3	1 0 1	1.119	2	0 0 6
1.851	1	(0 0 4) $\beta$			

(Au)与自然银(Ag)，因金、银的原子半径很近似，前者Au = 1.439埃，后者Ag = 1.44埃，结晶构造类型相同，都属等大球的最紧密堆积(立方面心格子)，晶胞参数又相近(金 $a_0 = 4.078$  埃，银 $a_0 = 4.082$  埃)，金、银在周期表上处于同一副族，并有相似的物理化学性质，故金、银常成类质同象形成银金矿(Electrun)(Au、Ag)，其X光粉晶衍射数据( $d$ 值)是介于自然金(Au)和自然银(Ag)之间(详见表1-8)，故三者易于区别。

表1-8 自然金、银金矿和自然银  
的X光粉晶衍射数据对比

晶面符号	自然金(Au)	银金矿(Au, Ag)	自然银(Ag)
(222)	1.177(埃)	1.178(埃)	1.180(埃)
(400)	1.018(埃)	1.021(埃)	1.024(埃)
(220)	1.441(埃)	1.441(埃)	1.445(埃)
(200)	2.04(埃)	2.034(埃)	2.043(埃)
(111)	2.36(埃)	2.35(埃)	2.354(埃)

### (五) 确定岩浆岩的成因

利用X光粉晶衍射仪方法，可测定钾长石 $K[AlSi_3O_8]$ 的三斜度( $\Delta$ )，来确定岩浆岩的成因。所谓钾长石的三斜度( $\Delta$ )，就是指钾长石偏离单斜的对称程度。测量钾长石三斜度的方法有多种，最常用的方法是利用X光粉晶衍射数据中 $d_{131}$ 和 $d_{\bar{1}\bar{3}1}$ 的差值，依下列公式计算：

$$\Delta = 12.5 \times (d_{131} - d_{\bar{1}\bar{3}1})$$

如果钾长石属单斜晶系，其对称特点必然使粉晶衍射数据的

$d_{131}$  和  $d_{1\bar{3}\bar{1}}$  衍射线重合，其结果三斜度 ( $\Delta$ ) 必为零。当钾长石向三斜晶系过渡，则其对称特点必然使  $d_{131}$  和  $d_{1\bar{3}\bar{1}}$  两衍射线不相重合而分离，如果是最大微斜长石，则  $(d_{131} - d_{1\bar{3}\bar{1}})$  为最大，达 0.08 埃， $\Delta = 1$ ，从  $\Delta$  值的测定，可以推知该微斜长石有序度高低，因为钾长石有序度的增高，说明形成温度逐渐降低，由此测定钾长石的三斜度，可帮助解决岩浆岩的成因问题。据一般资料所知，当钾长石的三斜度  $\Delta = 0.2 - 0.4$ ，属火山成因的花岗岩； $\Delta = 0.4 - 0.8$ ，属正常成因的花岗岩； $\Delta = 0.8 - 1$ ，为钾交代成因的花岗岩。最近我们对湖南溆浦黄茅园花岗岩中的钾微斜长石的三斜度，利用单矿物粉晶 X 光衍射仪法进行了测定，发现  $d_{131}$  与  $d_{1\bar{3}\bar{1}}$  有明显的分开现象，故其三斜度为  $\Delta = 12.5 \times (d_{131} - d_{1\bar{3}\bar{1}}) = 12.5 \times (3.01 - 2.95) = 0.75$ 。（图 1-10）。

故该地区的花岗岩成因，应属正常岩浆冷却凝固的花岗岩，其结论与野外地质观察结果相一致。但值得注意的是该法只适用于钾长石中钠长石含量低于 20%，而超过此数者要加 0.00<sub>7</sub>

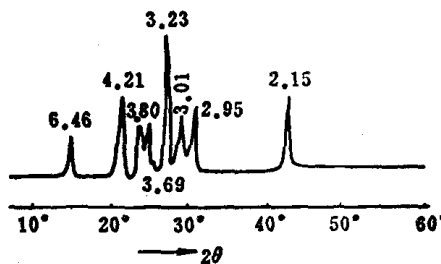


图 1-10 湖南溆浦黄茅园花岗岩的钾微  
斜长石的三斜度 ( $\Delta$ ) 测定